

God ljudmiljö i skola

- beskrivning av rumsakustik före och efter åtgärdsprogram

Pontus Larsson

Rapport nr 7: 2011

Enheten för Arbets- och miljömedicin

Avdelningen för Samhällsmedicin och Folkhälsa



GÖTEBORGS UNIVERSITET

Samtliga rapporter finns att hämta som pdf fil på
www.amm.se/soundenvironment

Övriga rapporter från detta projekt

- God ljudmiljö i förskola – samband mellan ljudmiljö, hälsa och välbefinnande före och efter åtgärdsprogram. (Rapport nr 2: 2011)
- God ljudmiljö i skola – samband mellan ljudmiljö, hälsa och välbefinnande före och efter åtgärdsprogram. (Rapport nr 3: 2011)
- God ljudmiljö i förskola och skola – krav på rum, bygg- och inredningsprodukter för minskat buller (Rapport nr 4: 2011)
- God ljudmiljö i förskola – beskrivning av rumsakustik före och efter åtgärdsprogram. (Rapport nr 6: 2011)

Hur uppnås en god miljö/ljudmiljö i förskola/skola
Formasprojekt

Utförda hösten 2008, Rapport version 1
Pontus Larsson, e3pontus@gmail.com

1.	Introduktion.....	2
2.	Mätobjekt, Västerbergsskolan.....	3
3.	Mätutrustning.....	8
4.	Resultat, efterklangstid	9
5.	Resultat, D50.....	9
6.	Mätresultat, IACC	10
7.	Mätresultat, STI	11
8.	Mätresultat, trumljudsmätning	11
9.	Jämförelse före-efter, rumsakustik.....	12
10.	Jämförelse före-efter, trumljud	16
	Appendix A: T60 mätvärden i tabellform.....	18
	Appendix B: D50 mätvärden i tabellform	20
	Appendix C: IACC mätvärden i tabellform.....	22
	Appendix D: STI mätvärden i tabellform	23
	Appendix E: Mätning av trumljud	24
	Mätning av trumljud	24

1. *Introduktion*

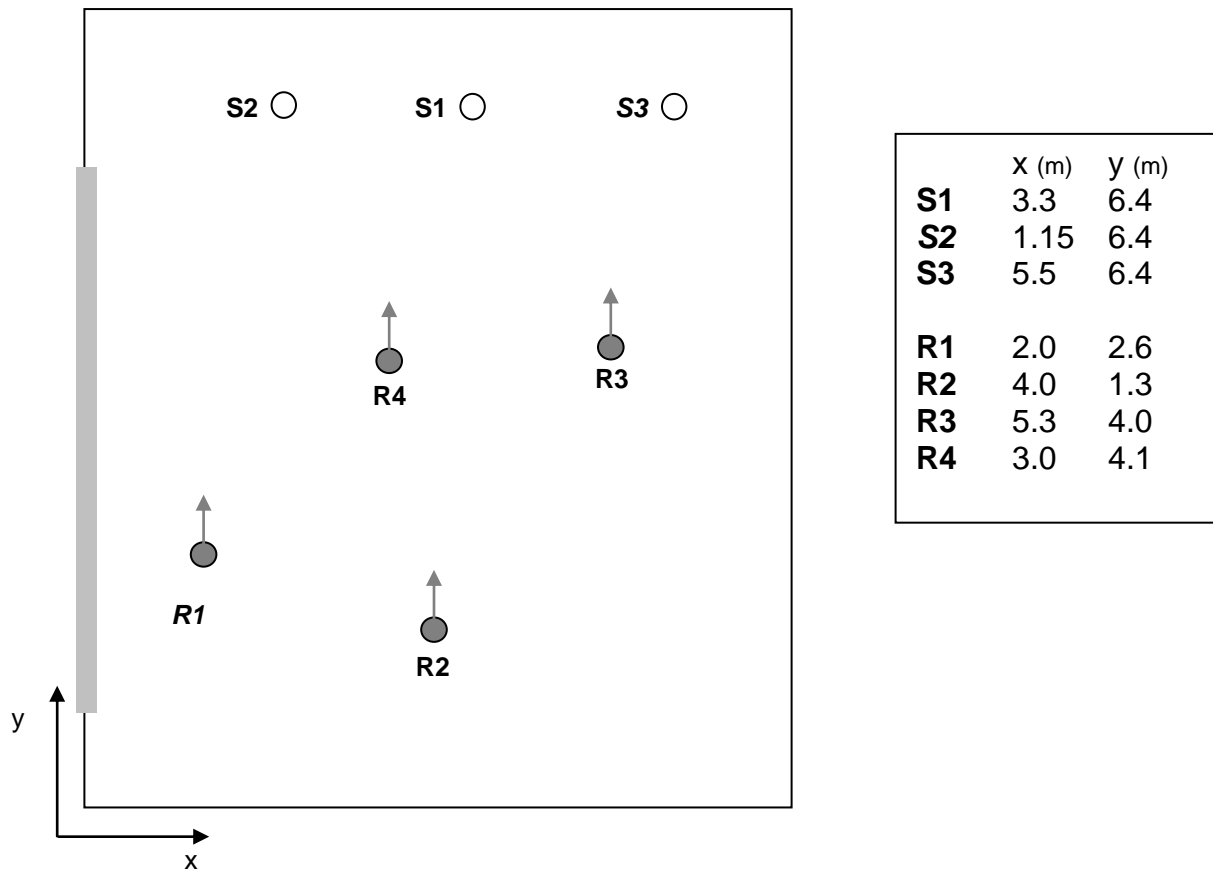
Denna rapport beskriver de mätningar som gjordes efter akustikombyggnad i tre klassrum i Västerbergsskolan, Mölndal som en del av den andra huvudstudien i projektet ”Hur uppnås en god miljö/ljudmiljö i skola/förskola”. Mätningarna är i huvudsak inriktade på rumsakustisk kvalitet, men en ny metod att mäta trumljudsimpulser har även utvärderats. Monaurala och binaurala impulssvar mätts upp för ett antal käll- och mikrofonpositioner i de två utvalda klassrummen C100 och C111, samt i ytterligare ett klassrum (A107).

Impulssvaren har sedan utvärderats m a p efterklangtid, balans mellan tidiga och sena reflexer (D50, definition), Taluppfattbarhet (STI) samt interaural korskorrelation (IACC). I dessa rum mättes även golven upp med hjälp av den nya trumljudsmetoden.

2. Mätningsobjekt, Västerbergsskolan

Rum 1 (C11)

Rum 1 är ett normalstort klassrum med relativt lite inredning men med flera akustikförbättrande åtgärder vilket gör att akustiken är god. Fönster på bakväggen försämrar troligtvis akustiken något dock. Bilden och ritningen i figurerna 1-2 nedan ger en uppfattning om rummets utseende och var de rumsakustiska mätningarna gjordes i rummet.



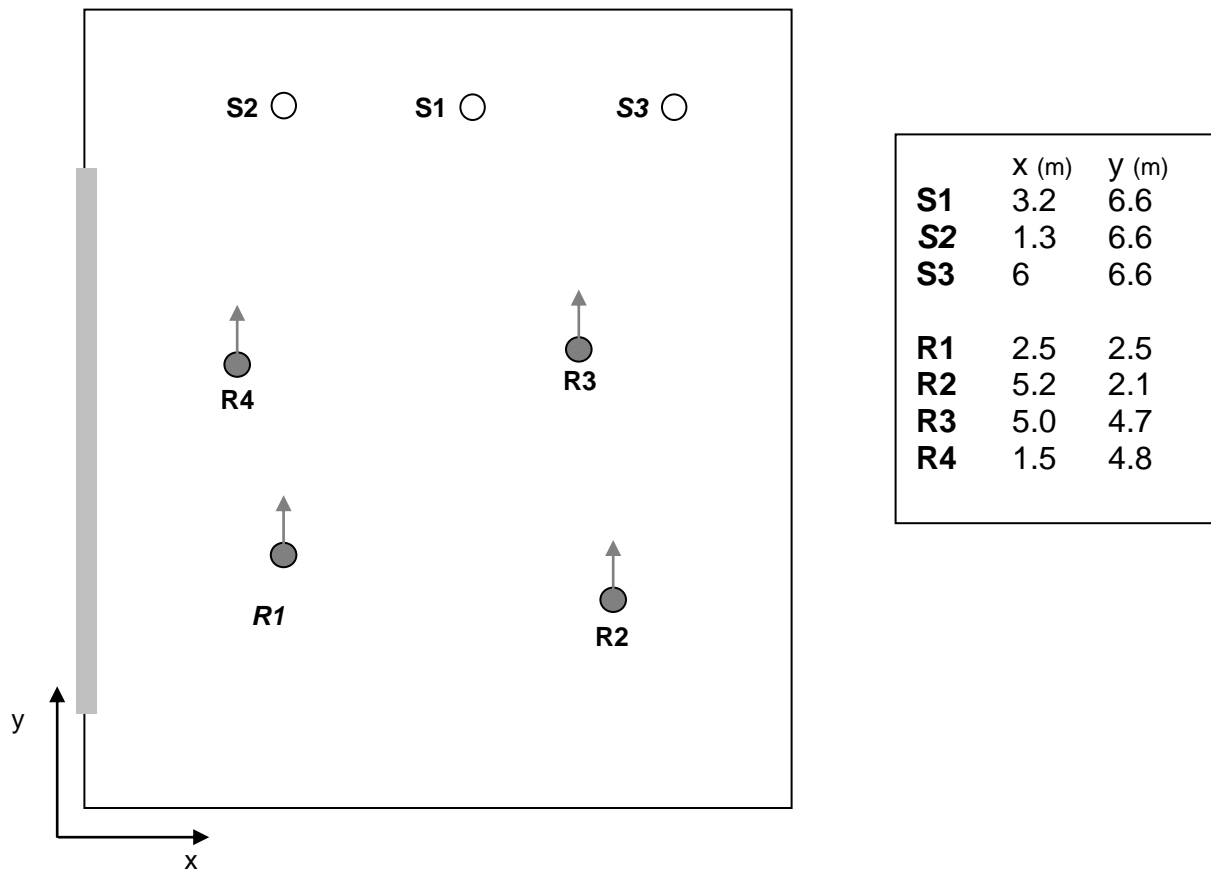
Figur 1: Ritning över rum 1 (ej skalenl.). R= mottagarpositioner, S= källpositioner, kursiverad bokstav anger var trumljudsmätning gjordes.



Figur 2: Rum 1, efter akustikombyggnad

Rum 2 (C100)

Rum 2 är i princip lika stort som rum 1 och är åtgärdat på liknande sätt som rum 1 men har inga fönster på bakväggen vilket gör att rummet blir mer dämpat. Bilden och ritningen i figurerna 3-4 nedan ger en uppfattning om rummets utseende och var de rumsakustiska mätningarna gjordes i rummet.



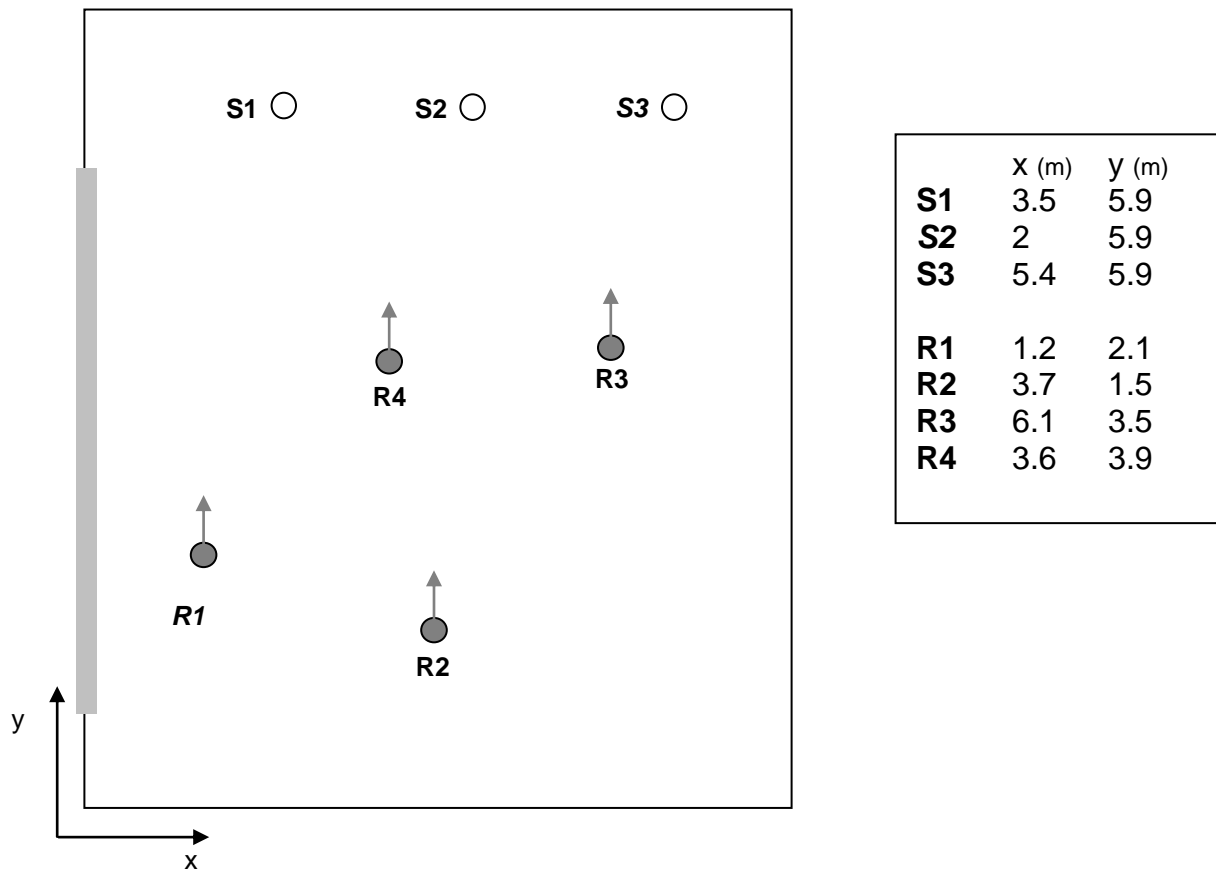
Figur 3: Ritning över rum 2 (ej skalenl.). R= mottagarpositioner, S= källpositioner, kursiverad bokstav anger var trumljudsmätning gjordes.



Figur 4: Rum 2, efter akustikombyggnad

Rum 3 (A107)

Rum 3 är ett normalstort klassrum som inte ingick i före-mätningarna men som har åtgärdats på ungefär samma sätt som rum 1-2. Bilden och ritningen i figurerna 5-6 nedan ger en uppfattning om rummets utseende och var de rumsakustiska mätningarna gjordes i rummet.



Figur 5: Ritning över rum 3 (ej skalenl.). R= mottagarpositioner, S= källpositioner, kursiverad bokstav anger var trumljudsmätning gjordes.



Figur 6: Rum 3, efter akustikombyggnad

3. Mätutrustning

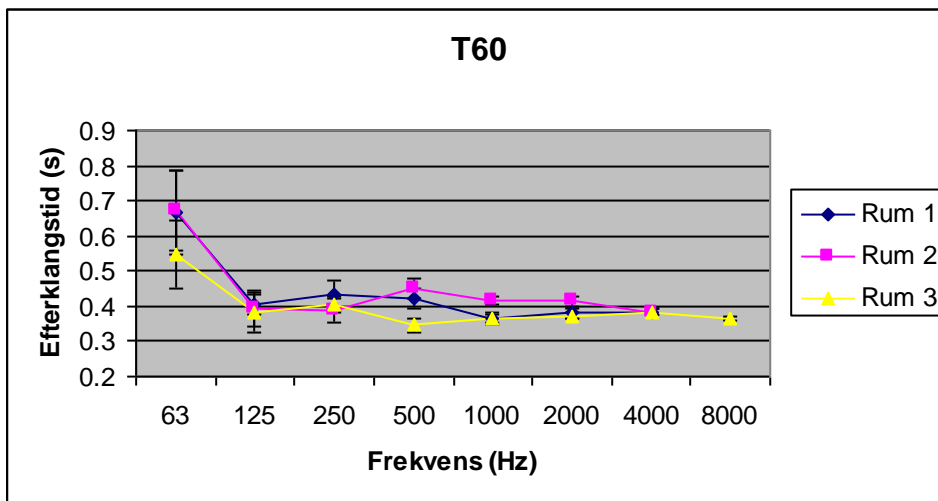
Till impulssvarsmätningarna användes följande utrustning:

- Omnidirektionell högtalare
- Yamaha Effektförstärkare
- Matlab Chirp mätsystem
- Panasonic Elektretmikrofon (för monaurala mätningar)
- Head Acoustics konsthuvud (för binaurala mätningar)

Till trumljudsimpulsmätningarna användes en PC-laptop med ett specialskrivet Matlab-skript och den mätrigg som visas i Appendix E. Samma typ av mikrofon som användes vid impulssvarsmätningarna användes även i denna uppställning. Vid mikrofonens position satt en ljudtrycksnivåmätare monterad vars toppvärdesutslag registrerades tillsammans med ljudinspelningarna (detta för att möjliggöra kalibrering av mätningen).

4. Resultat, efterklangstid

I figur 7 nedan visas resultat från analys av de monaurala impulssvaren m a p efterklangstid för de olika rummen.

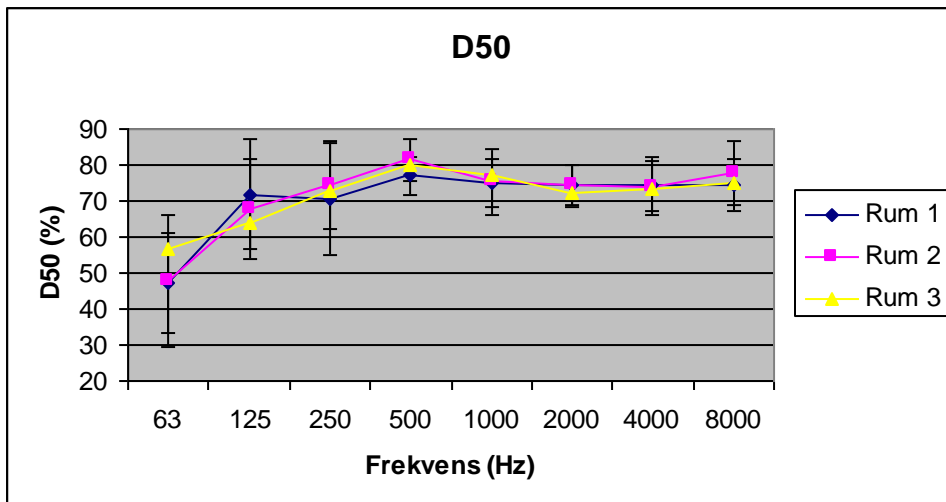


Figur 7: Efterklangstider i rum 1- 3. Varje kurva visar medelvärde och standardavvikelse för 12 mätningar.

Alla rummen tycks uppvisa en något större spridning mellan mätpunkterna i lågfrekvensområdet jämfört med högfrekvensområdet. Detta är ett resultat av att ljudfältet är mer diffust för höga frekvenser och att inverkan av moderna därmed är mindre. Värdena får i allmänhet anses vara mycket goda för alla rum (standardrekommendationer säger typiskt att T60 skall vara mindre än 0.6). Alla T60-värden redovisas i tabellform i Appendix A.

5. Resultat, D50

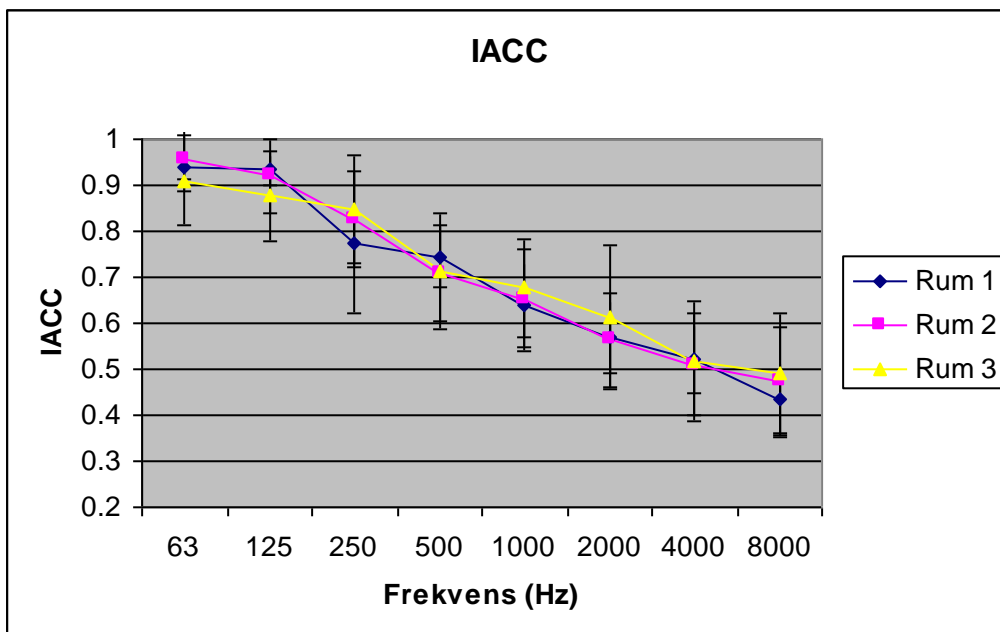
Impulssvaren från de olika rummen analyserades också m a p D50, Deutlichkeit / Definition, som indikerar relationen mellan tidiga reflexer (upp till 50ms) och hela impulssvaret. D50 är ett mått som är relaterat till den subjektivt upplevda taluppfattbarheten och kan erhållas direkt ur samma impulssvar som används för efterklangstidsmätningen. Det är dock inte känt hur väl D50 och liknande mått är lämpade för mindre rum. Figur 8 visar D50 för de tre rummen. I denna figur syns att D50 är väldigt lika för de tre rummen. Vidare tycks D50 variera ganska så mycket med mottagar/källposition rummen. Alla D50 värden visas i tabellform i Appendix B.



Figur 8: D50, rum 1-3. Varje kurva visar medelvärde och standardavvikelse för 12 mätningar.

6. Mätresultat, IACC

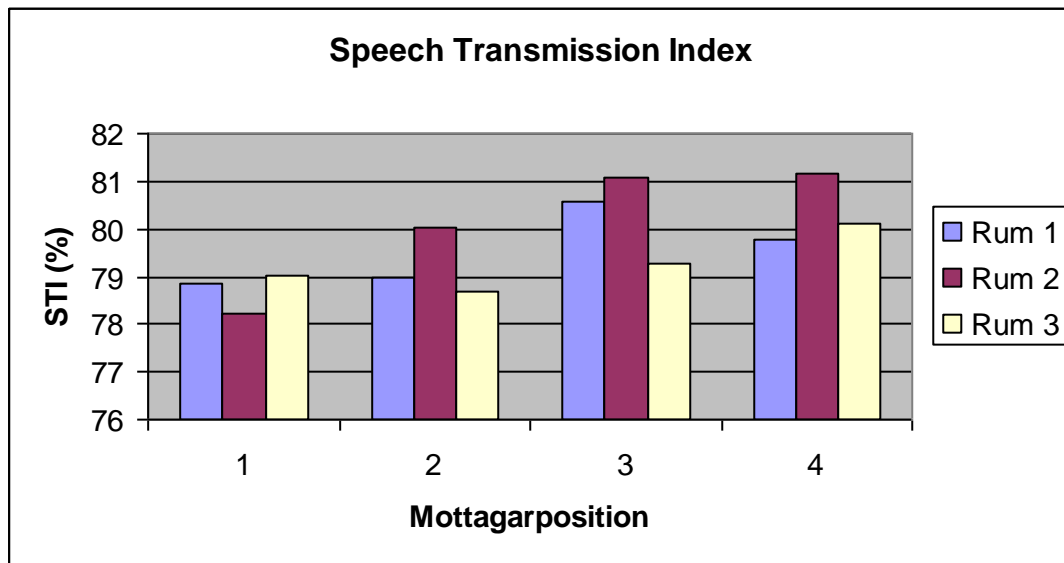
IACC eller Interaural korskorrelation är ett mått på likheten mellan ljudtrycken vid vänster och höger öra och används traditionellt för att avgöra hur diffust ljudfält i konsertsalar och andra musikrum är. Figur 9 visar medelvärdet av 12 IACC mätningar i vardera rum. Som synes minskar diffusiteten generellt med frekvens. I övrigt tycks graferna vara relativt lika. Alla IACC värden visas i tabellform i Appendix C.



Figur 9: IACC rum 1-3. Varje kurva visar medelvärde och standardavvikelse för 12 mätningar.

7. Mätresultat, STI

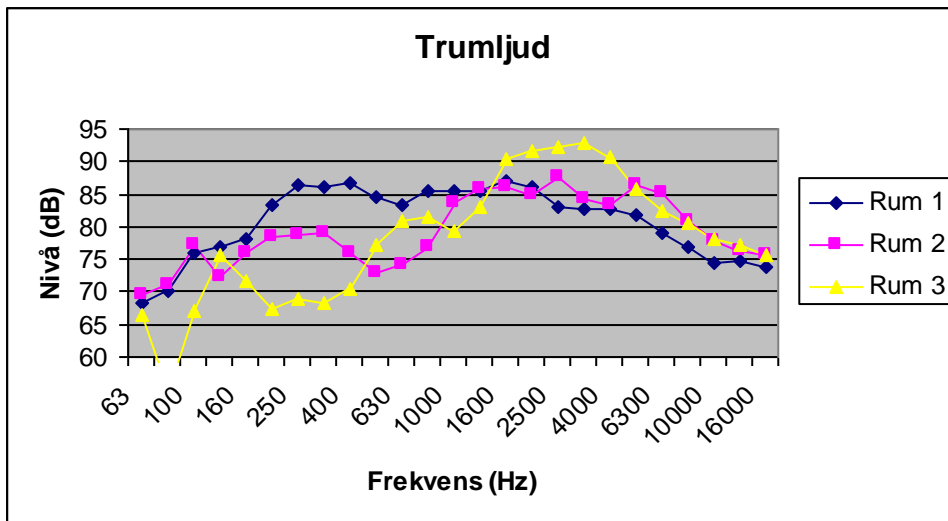
Speech transmission index (STI), som är ett mått på taluppfattbarheten. I STI metoden använder man en speciell testsignal med tal-lik karakteristik. Denna signal, som är baserad på brus med olika grundfrekvenser som har modulerats med olika modulationsfrekvenser, skickas ut i rummet via en högtalare och tas emot i lyssningspositionen. Modulationsdjupet i den mottagna signalen jämförs med det i orginalsignalen och STI erhålls sedan efter en viktad summering av de olika skillnaderna i modulationsdjup för de olika grund- och modulationsfrekvenserna. STI visas för de 4 mottagarpositionerna olika rummen i figur 10. Då alla tre rum har en mycket kort och frekvenskonstant efterklang är STI mycket bra överlag (över 75% kategoriseras som "excellent", eller högst möjliga taluppfattbarhet).



Figur 10: STI för de 4 mätpositionerna rum 1-3 . Staplarna visar medelvärde över 3 olika källpositioner.

8. Mätresultat, trumljudsmätning

I figur 11 visas medelvärdesbildade tersbandsspektra för trumljudsmätningarna i de olika rummen. Dessa tersbandsspekta har räknats fram från inspelningen m h a Matlab och nivåjusteras m h a ljudtrycksnivåmätningarna (peak).

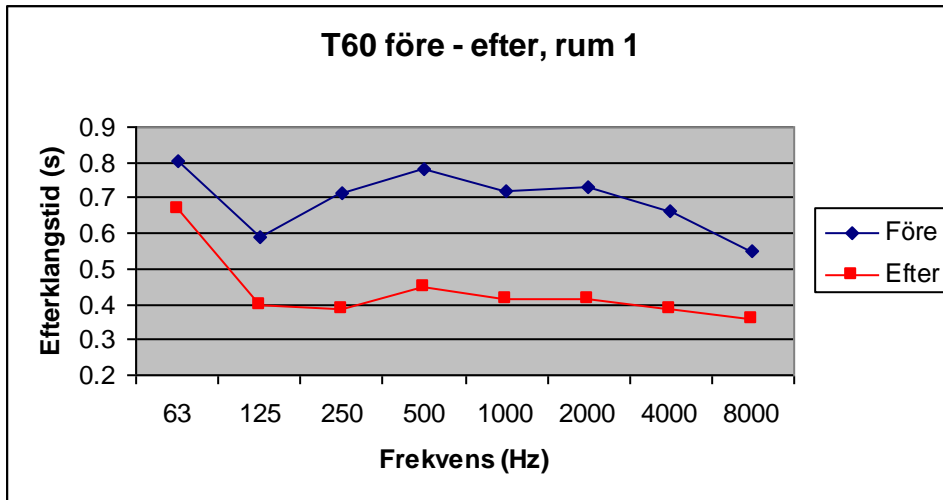


Figur 9: Tersbandsspektrum för trumljudsmätningar i rum 1-3

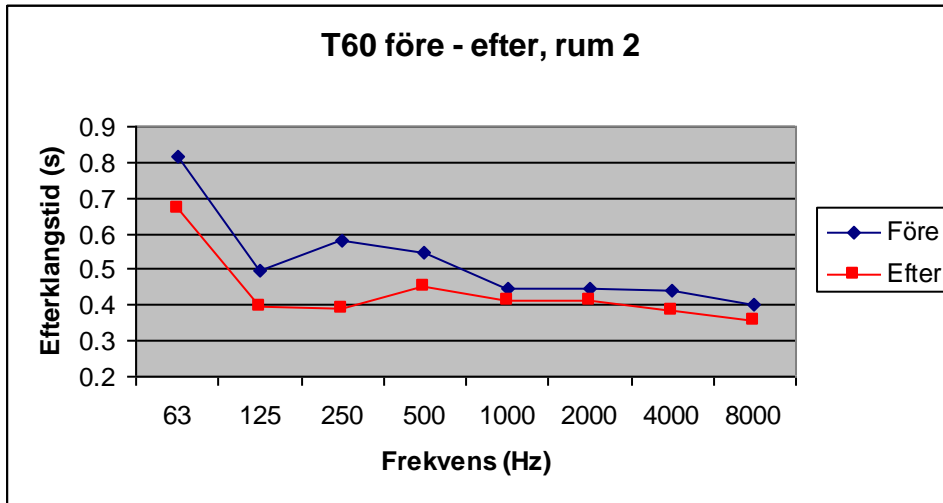
Som synes i figur 9 tycks rum 2's golv ha något bättre egenskaper, framförallt i lågfrekvensområdet, än rum 1. Rum 3 är något bättre i lågfrekvensområdet än rum 1 och 2, men sämre i högfrekvensområdet.

9. Jämförelse före-efter, rumsakustik

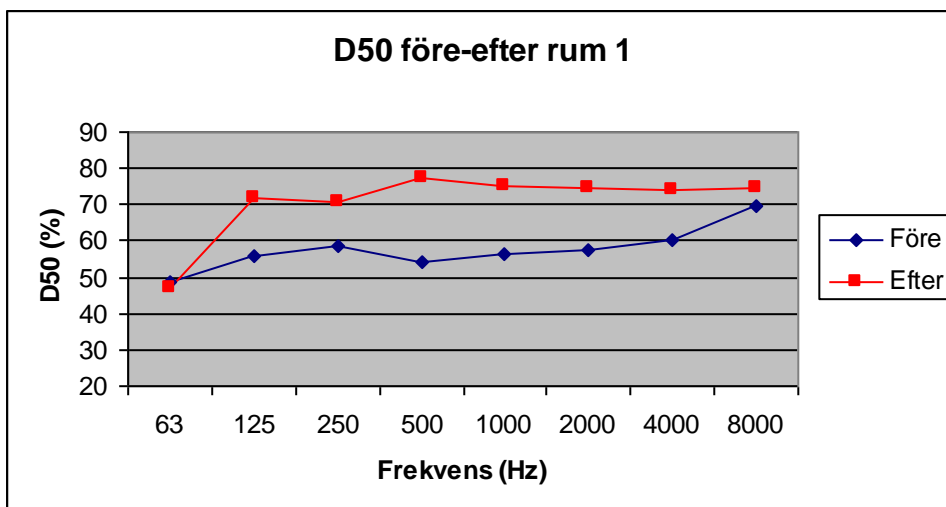
I figurerna 11-16 visas jämförelser mellan före- och eftermätningarna för de olika rumsakustiska mätten. Efterklangstiden överlag minskats i och med de akustikförbättrande åtgärderna, och förbättringen syns över i princip hela frekvensområdet. Motsvarande effekt återfinns i D50-kurvorna, även om avvikelse finns vid ett par frekvenser (63 & 125 Hz, rum 2). Ökningen av absorptionsarea har även lett till en minskad diffusitet, d v s ett ökat IACC-värde. En förbättring i taluppfattbarhet kan ses för både rum 1 och 2 som följd av akustikförbättringen.



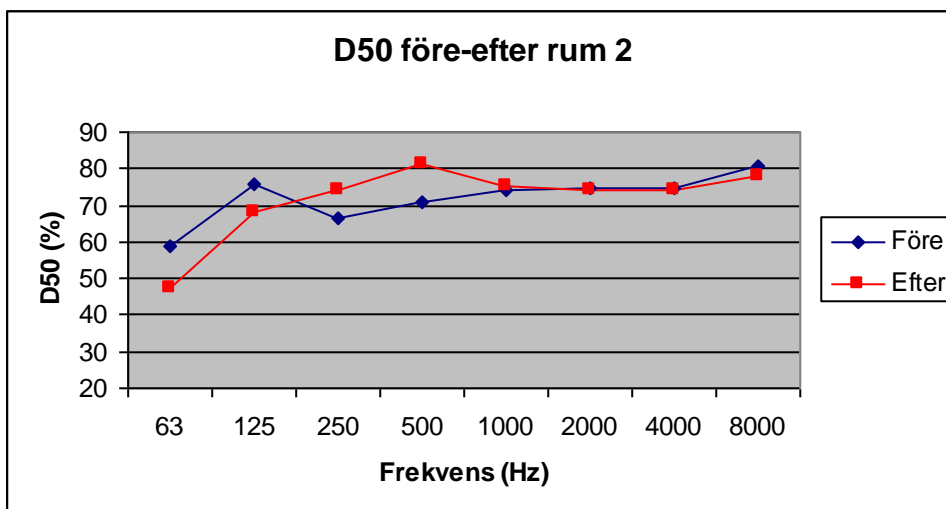
Figur 10: Efterklangstid före – efter, rum 1



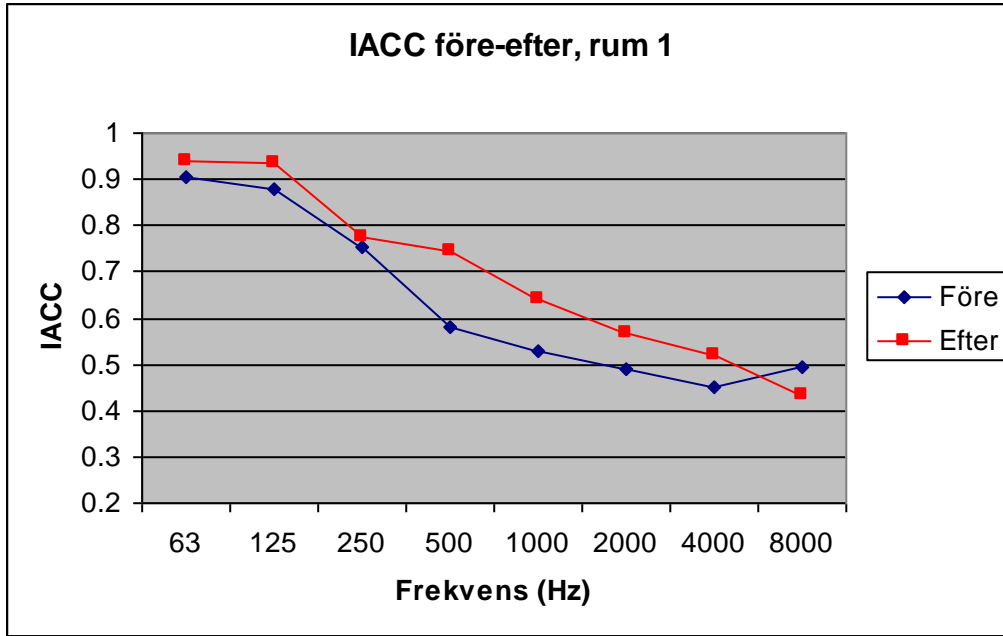
Figur 11: Efterklangstid före- efter, rum 2



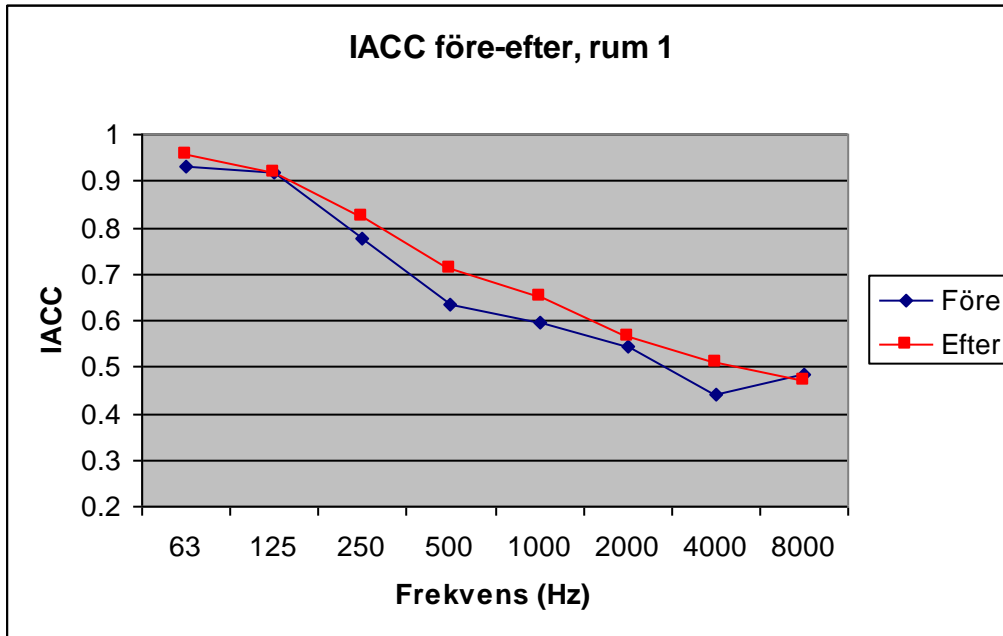
Figur 12: D50 före-efter, rum 1



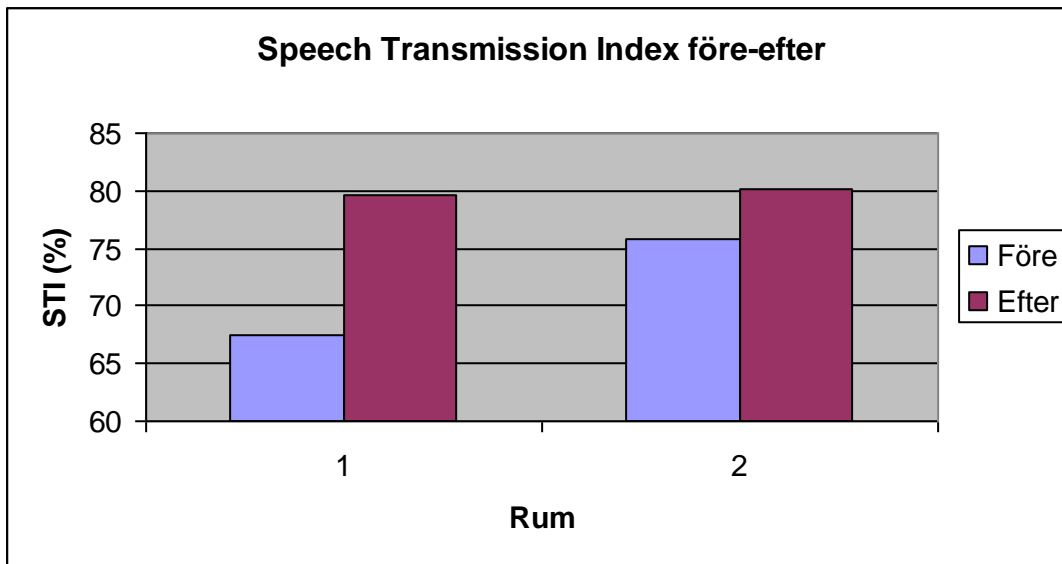
Figur 13: D50 före-efter, rum 2



Figur 14: IACC före-efter, rum 1



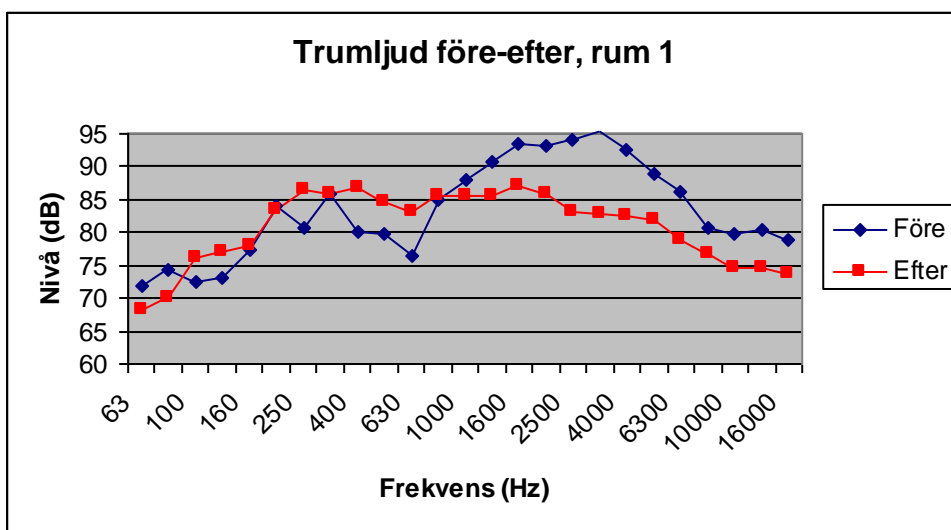
Figur 15: IACC före-efter, rum 2



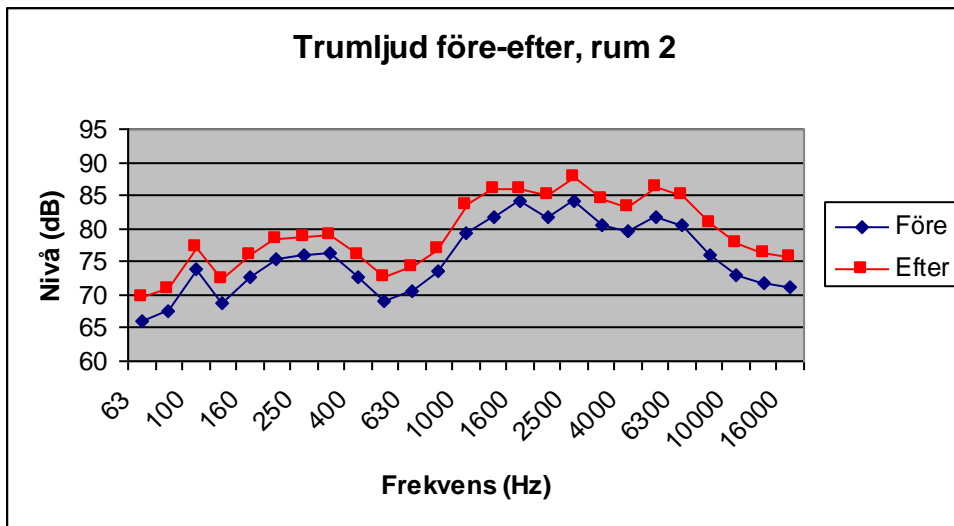
Figur 16: STI före-efter

10. Jämförelse före-efter, trumljud

I figurerna 17-18 nedan visas jämförelser mellan trumljuden före och efter akustikombyggnad. Som synes är karaktären i princip helt oförändrad efter ombyggnad i rum 2, men totalnivån något högre – vilket är anmärkningsvärt, men kan bero på att mätpunkten inte varit exakt densamma vid de två mättillfällena – medan golvet tydligt har förbättrats i högfrekvensområdet i rum 1. Man kan därför misstänka att ingen akustikåtgärd gjorts i rum 2, medan t ex en tjockare matta som dämpar högre frekvenser bra lagts in i rum 1.



Figur 17: Trumljud före-efter, rum 1



Figur 18: Trumljud före-efter, rum 2

Tabell 3: Rum 3

T60	63	125	250	500	1000	2000	4000	8000
s1r1	0.6208	0.3966	0.4583	0.3543	0.368	0.3737	0.3793	0.3618
s1r2	0.5682	0.4256	0.3912	0.3752	0.3573	0.3763	0.3763	0.3747
s1r3	0.4761	0.2885	0.4034	0.3606	0.3523	0.3611	0.3837	0.3561
s1r4	0.4142	0.2741	0.4018	0.3498	0.3779	0.3721	0.3898	0.3724
s2r1	0.5822	0.3724	0.3944	0.3287	0.3805	0.3712	0.391	0.3734
s2r2	0.6043	0.4745	0.4112	0.352	0.3647	0.3843	0.3972	0.3651
s2r3	0.5744	0.3969	0.3881	0.3612	0.365	0.3673	0.3769	0.3564
s2r4	0.3967	0.3439	0.4176	0.3608	0.3763	0.3757	0.3748	0.3621
s3r5	0.5898	0.4068	0.3692	0.3446	0.3651	0.383	0.3854	0.3778
s3r2	0.6824	0.4173	0.4129	0.3375	0.3445	0.3714	0.3908	0.3639
s3r3	0.4152	0.4151	0.3938	0.3062	0.3401	0.366	0.3792	0.3609
s3r4	0.6324	0.3934	0.3946	0.3225	0.3583	0.3746	0.3926	0.3642
M	0.546392	0.383758	0.403042	0.346117	0.3625	0.373058	0.38475	0.365733
SD	0.095939	0.057105	0.021681	0.019411	0.0127	0.006596	0.007458	0.007181

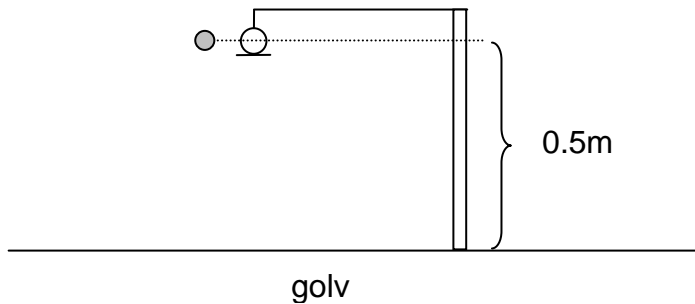
Tabell 6: Rum 3

D50	63	125	250	500	1000	2000	4000	8000
s1r1	78.3069	56.2358	78.1329	79.741	77.1967	71.1077	74.9862	69.0311
s1r2	52.6792	80.4855	74.0946	72.5369	67.7739	70.2042	61.1077	70.2678
s1r3	26.7057	41.7624	71.189	82.961	78.5504	62.3121	68.4206	67.9359
s1r4	69.7658	76.2251	78.7194	81.6658	83.9415	75.4775	75.3698	81.9796
s2r1	60.9446	48.7064	67.1376	75.5661	73.7801	70.602	70.8296	80.3131
s2r2	63.9073	60.3361	66.5348	78.6613	66.8313	69.4275	71.7511	70.0228
s2r3	40.867	49.4345	66.672	79.2913	85.9906	79.5666	72.7213	80.484
s2r4	75.4381	76.9291	84.8934	89.8109	86.3916	82.3893	83.6487	81.9035
s3r5	46.8918	74.5279	60.1658	77.6886	65.6521	60.925	69.503	71.1534
s3r2	33.6469	38.4254	59.9782	76.4104	71.9011	64.2328	71.911	70.7844
s3r3	71.1907	88.5219	77.8281	80.281	82.6111	77.2056	74.4526	78.8469
s3r4	56.6052	72.7822	88.7321	85.7482	83.7845	82.6616	84.6884	77.7979
M	56.41243	63.69769	72.83983	80.03021	77.03374	72.17599	73.2825	75.04337
SD	16.6837	16.63759	9.17499	4.640264	7.691937	7.429144	6.345274	5.580354

Appendix E: Mätning av trumljud

Mätning av trumljud

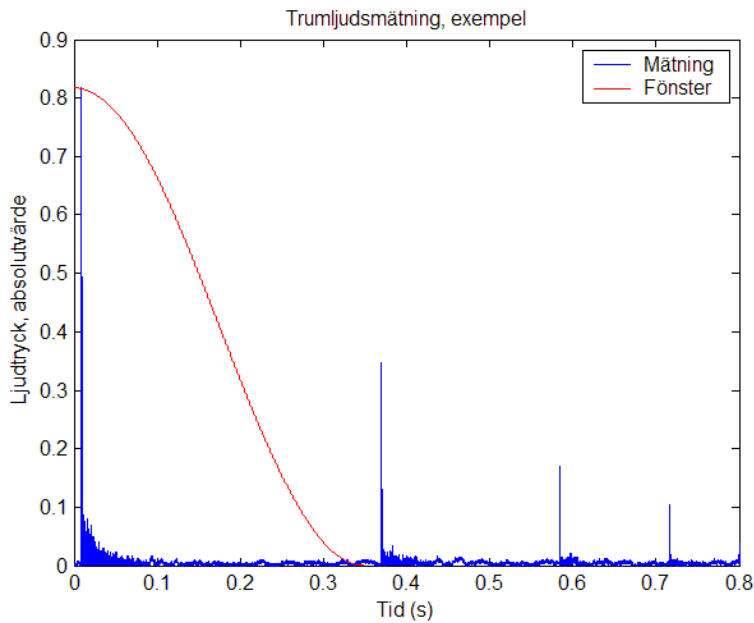
Mätning av trumljud görs med den mätrigg som visas i figur E1 nedan. Mikrofonen skall vara av omnidirektionell typ.



Figur E1: Mätuppställning för trumljud. Ljudnivåmätare ej utritad.

En kula släpps från samma höjd som mikrofonens position. Utsignalen från mikrofonen registreras samtidigt med hjälp av valfri digital ljudinspelare. Tre inspelningar görs för varje golvtyp i det aktuella rummet. Inspelningarna fönstras sedan så att endast den första impulsen inkluderas i mätningen. En referenssignal med mikrofonkalibreringston skall spelas in på ljudinspelaren före eller efter själva mätningen för att absolutnivåer skall kunna räknas fram. Vid varje mätning bör man dessutom med hjälp av ljudnivåmätare mäta toppvärdet av ljudnivån vid mikrofonpositionen.

Ett exempel på mätning visas i figur E2 nedan.



Figur E2: Exempel på mätresultat, trumljud.

Mätningen bör sedan fönstras ytterligare så att enbart direktljudet fås med (rumsreflexer elimineras).

Resultatet av mätningen presenteras i tersband.